

第37届中国化学奥林匹克(初赛)试题

(2023年9月3日 9:00-12:00)

提示: 1) 凡题目中要求书写反应方程式, 需配平且系数为最简整数比。

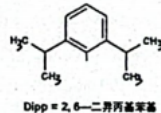
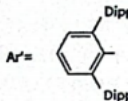
2) 可能用到的常数: 法拉第常数 $F = 9.6485 \times 10^4 \text{ C mol}^{-1}$; 气体常数 $R = 8.3145 \text{ J K}^{-1} \text{ mol}^{-1}$
阿佛加德罗常数 $N_A = 6.0221 \times 10^{23} \text{ mol}^{-1}$; 玻尔兹曼常数 $k_B = R/N_A$

第1题 (14分, 占 7%) 锗的化合物

1-1 半导体工业中通过刻蚀制造微纳结构。GaN 是重要的半导体材料, 通常采用含氮气体在放电条件下进行刻蚀。写出利用 Ar-Cl₂ 混合气体放电刻蚀 GaN 的化学方程式。

1-2 金属镓熔点很低但沸点很高, 其中存在二聚体 Ga₂。1990 年, 科学家将液态 Ga 和 I₂ 在甲苯中超声处理, 得到了组成为 GaI 的物质。该物质中含有多种不同氧化态的 Ga, 具有两种可能的结构, 分子式分别为 GaI₄ (A) 和 Ga₄I₄ (B), 二者对应的阴离子分别为 C 和 D, 两种阴离子均由 Ga 和 I 构成且其中所有原子的价层均满足 8 电子。写出 A 和 B 组成特点的结构简式并标出 Ga 的氧化态, 画出 C 和 D 的结构。

1-3 GaI 常用于合成低价 Ga 的化合物。将 GaI 与 Ar'-Li (Ar' 基团如图所示, 解答中直接采用简写 Ar') 在 -78 °C 的甲苯溶液中反应, 得到晶体 E, E 中含有 2 个 Ga 原子; E 在乙醚溶液中与金属钠反应得到晶体 F, X 射线晶体学表明, F 中的 Ga-Ga 键长比 E 中短 0.028 nm。关于 F 中 Ga-Ga 的键级历史上曾有过争议, 其中一种观点认为, F 中的 Ga 价层满足 8 电子。基于该观点, 画出 E 和 F 的结构式。



第2题 (12分, 占 6%) 复盐的组成

在 NH₄Cl-CuCl₂-H₂O 体系中, 结晶出一种淡蓝色的物质 A, 其组成可表示为 $x\text{NH}_4\text{Cl}\text{-}\text{CuCl}_2\text{-}y\text{H}_2\text{O}$ 。称取 1.4026 g 晶体 A, 溶于水并在 250 mL 容量瓶中定容。Cl⁻分析: 移取 25.00 mL 溶液, 加入 2 滴 0.5% 荧光黄的乙醇溶液和一滴稀 NaOH 溶液, 再加 2 mL 0.5% 淀粉溶液, 用 0.1036 mol L⁻¹ AgNO₃ 溶液滴定(反应 1), 至出现粉红色, 消耗 19.52 mL; Cu²⁺分析: 移取 25.00 mL 溶液, 加入 1 mol L⁻¹ H₂SO₄ 溶液 5 mL, 再加固体 KI 1.5 g, 混匀并放置(反应 2), 用 0.02864 mol L⁻¹ Na₂S₂O₃ 溶液滴定(反应 3), 至棕色较浅时加入 2 mL 0.5% 淀粉溶液, 继续滴至蓝紫色恰好消失, 消耗 17.65 mL。

2-1 写出反应 1-3 的方程式。

2-2 通过计算确定 A 中 x 和 y 的值。(NH₄Cl 式量 53.49, CuCl₂ 式量 134.5)

第3题 (13分, 占 8%) 海水中锂的提取

随着锂电池的广泛应用, 锂已成为重要的战略资源, 被称为白色石油。据估计, 海水中锂的总含量为陆地锂总含量的 5000 倍以上, 但海水中锂的质量浓度仅为 0.1-0.2 ppm, 从海水提取锂首先需要对低浓度的 Li⁺进行选择性富集。Li⁺能够嵌入某些氧化物并在一定条件下脱出, 据此可以进行 Li⁺的富集。

3-1 以 Li₂CO₃ 和 MnO₂ 为原料, 充分混合后在 720 °C 下煅烧 3 h, 冷至室温后即可得到复合氧化物 LiMn₂O₄ (LMO)。用 1 mol L⁻¹ 的 HCl 在 60 °C 处理 LMO, 将其中所有 Li⁺置换后得到 HMO, HMO 可以和 Li⁺反应再生成 LMO, 然后 LMO 与酸作用脱出 Li⁺从而实现 Li⁺富集。如此, 可以循环处理。

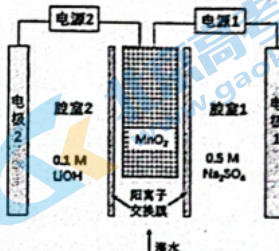
3-1-1 写出合成 LiMn₂O₄ 的方程式。

3-1-2 用酸处理 LMO 时, 除离子交换反应之外, 也会发生一个副反应, 该副反应导致固体中 Mn 的平均氧化态有所升高, 写出副反应回应的化学方程式。这一副反应回应再生后的 HMO 的锂富集性能有何影响?

3-2 利用电化学富集锂也是有效的方法之一。某电化学系统如图所示，其包含两个电池单元，中间区域置有具有一维孔道结构的 $\lambda\text{-MnO}_2$ ，该孔道可以容纳合适的阳离子进出。 MnO_2 电极通过阳离子交换膜与两个电化学池中的对电极隔开，腔室1和2中的电解质分别为0.5 M的 Na_2SO_4 和0.1 M的 LiOH 。该电化学系统的工作步骤如下：1)向 MnO_2 所在腔室通入海水，启动电源1，使海水中的 Li^+ 进入 MnO_2 结构而形成 $\text{Li}_x\text{Mn}_2\text{O}_4$ ；2)关闭电源1和海水通道，启动电源2，同时向电极2上通入空气，使 $\text{Li}_x\text{Mn}_2\text{O}_4$ 中的 Li^+ 脱出进入腔室2。

3-2-1 为衡量 MnO_2 对 Li^+ 的富集效果，将0.50 M的 LiCl 溶液通入 MnO_2 (4.8 mg)所在腔室，启动电源1，使电流恒定在5.0 mA，累计工作325 s后发现 MnO_2 的电极电势快速下降，计算所得 $\text{Li}_x\text{Mn}_2\text{O}_4$ 中的x。

3-2-2 写出上述过程中发生腔室2中阴极和阳极上的电极反应。



电化学锂富集装置示意图

第4题(14分,占7%) Pt的多核配合物

向 $\text{H}_2\text{Pt}(\text{OH})_6$ 水溶液中加入足量的 $\text{Na}_2\text{S}_2\text{O}_3$ 溶液，调整pH至11.4，在高压水热釜中150 °C反应17 h，得到一种深棕色的晶体(A·nH₂O)。A是一种钠盐，式量为1359.4，A的阴离子B是一种含三个Pt原子的多核络离子，仅含Pt、S、O三种元素，B中所有Pt的化学环境一致，配位原子均为S且Pt的配位数与典型的单核Pt配合物相同，存在两种化学环境不同的S，不存在Pt-Pt键和S-S键。

4-1 通过计算和分析确定络离子B的组成。

4-2 画出B的结构式。

4-3 写出生成配合物A的化学方程式。

第5题(32分,占15%) 简单的分子 复杂的反应

同为常见小分子，NO星光熠熠，H₂S却臭名昭著。然而，近期研究发现，在生命体系中NO与H₂S窃窃私语。研究二者的相互作用对于解开生命起源、理解生理过程的奥秘至关重要。NO与H₂S之间的反应及产物非常复杂，这里我们一起关注一些重要的基本问题。

5-1 早在19世纪，NO与H₂S的反应就受到关注。依赖于反应条件甚至容器(表面可能作为催化剂)，可以得到多种产物。最简单的一种就是产物中出现两种单质(反应1)，而反应过程出现笑气也是绕不开的步骤(反应2)，条件适当的时候，还会产生硫化铵(反应3)。写出反应1-3的方程式。

5-2 研究发现，HNO、HSNO、HSSNO、HS₂⁻等均是生理过程的关键物种，可由NO与H₂S作用产生。

5-2-1 HSNO(A)表达式给出的原子次序就是其连接方式。画出A及其共轭碱(B)的Lewis结构式(要求最稳定的形式)。

5-2-2 尽管A是最稳定的形式，但是通过低温下光解反应，也可以得到其他键合方式不同的异构体。画出A所有其他合理异构体的骨架结构。

5-2-3 据信SSNO⁻参与多个生理过程。其中涉及SSNO⁻形成及变化的可能反应及热力学常数如下：



计算298 K下HSSNO的酸解离常数K_a。

5-3 为理解金属离子在相关过程的作用，开展了如下研究：空气中，在络离子A([Ru(EDTA)(OH)]²⁺，EDTA

为乙二胺四乙酸根)的溶液中,加入NaHS溶液并充分搅拌,溶液变为蓝绿色,对应于双核络离子B的生成(反应4)。分别取A和B的溶液,在惰性气体保护下,加入被NO饱和的磷酸盐缓冲液(pH=8.2),充分反应,A转化为C,B转化为D(反应5)。借助于质谱分析,计算出四个络离子的式量分别为A:406.3,B:842.7,C:419.3,D:451.4。磁性测量发现,C为抗磁性,D为顺磁性。

5-3-1 写出络离子B、C、D的结构简式。

5-3-2 写出反应4和5的离子方程式。

5-3-3 画出C和D中金属离子d轨道在八面体场(近似看作正八面体)中的分裂图并给出d电子排布。

第6题(26分,占13%)层状金属碳化物和MXene材料

MAX相是一大类具有层状结构的金属碳化物或氮化物的总称,其中M为Ti、V、Nb等前过渡金属,X为碳或氮,A为Al、Sn、Ge、Sb等p区元素。MAX的结构中,M原子形成理想的密置层,M层之间采取密堆积(可连续分布)与简单六方堆积(通常以单层呈现)按一定方式有序堆叠形成三维结构。结构中,X填充在M层密堆积形成的所有八面体空隙中,A则有序占据M层简单六方堆积所形成空隙的一半。将其中的A元素选择性除去,可以分离得到二维的层状结构,称为MXene。MXene层中,最外层M可进一步与卤素、羟基等-1价端基T按1:1结合,形成端基T功能化的MXene(T-MXene)。因此,MXene的组成和结构多样且可调控,是当前二维材料的研究热点。

6-1 若MAX相中,M和A的原子数比为n,写出MAX相(O)、二维MXene层(P)和T-MXene(Q)的组成通式。Q中T为-1价端基。

6-2 某碳化物MAX相 $Ti_xAl_yC_z$ 结构属六方晶系, Ti 层的排列方式为...ABCCBAABCCBA....。

6-2-1 写出 $Ti_xAl_yC_z$ 晶胞的组成。

6-2-2 已知 $Ti_xAl_yC_z$ 晶胞参数 $a=0.306\text{ nm}$, $c=1.856\text{ nm}$ 。将M层密堆积形成的八面体近似为正八面体,计算简单六方排布相邻层的间距d(单位:nm)。

6-2-3 $Ti_xAl_yC_z$ 结构中,碳原子处在 Ti 层密堆积形成的八面体中心。若将晶胞原点选在处于堆积中B层的 Ti 上,此时所有的Al恰好均处在c轴上。写出晶胞中所有碳原子的坐标参数。

6-2-4 将 $Ti_xAl_yC_z$ 在HF溶液中超声处理,可选择性去除其中的Al层,得到二维结构的MXene片层 Ti_zC_z (反应1), Ti_zC_z 进一步与F⁻反应,形成F-MXene(反应2)。写出反应1和2的化学方程式。

6-2-5 T-MXene的性质与端基T密切相关。利用熔融ZnCl₂与 $Ti_xAl_yC_z$ 在550℃反应5h,可以得到Cl为端基的Cl-MXene(反应3)。将Cl-MXene在CsCl-KCl-LiCl混合熔盐与Li₂Se反应18h,可以得到端基为Se的Se-MXene(反应4)。写出反应3和4的化学方程式。

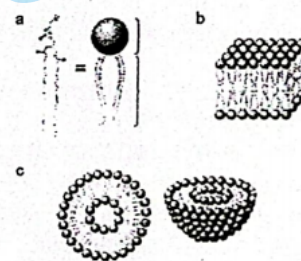
6-2-6 对于6-2-4中用HF水溶液处理得到的F-MXene,能否发生与6-2-5中反应4类似的反应?简述原因。

第7题(20分,占10%)生命过程中的物质

生命体中,各种物质的结构和功能都与基础化学密切相关。磷脂和蛋白质就是其中的重要代表。

7-1 磷脂双层膜是由两亲性的磷脂分子以“尾部朝里,头朝外”的方式组成的双层膜结构,它起到对细胞进行包裹保护以及对物质进行选择性传递的作用。构成该双层膜结构的磷脂分子和磷脂双层膜结构的示意图及其相关的脂质体如右所示。

7-1-1 依据磷脂双层膜结构的特征,解释为什么水溶液中的离子无法自由通过磷脂双层膜。



(a) 磷脂分子,(b) 磷脂双分子层,(c) 脂质体

7-1-2 细胞膜是由磷脂双层膜组成，由于细胞内外离子浓度分布的不均匀性，造成了膜两边形成了一定的电势差，被称为膜电位。由离子 A^{n+} 浓差形成的膜电位（定义细胞外的电势为零）可以通过如下方程计算：

$$\varphi_{A^{n+}} = \frac{RT}{nF} \ln \frac{[A^{n+}]_e}{[A^{n+}]_i}$$

神经元细胞内和细胞外的钠离子和钾离子浓度分别为 $[Na^+]_i = 12.0 \text{ mmol L}^{-1}$, $[K^+]_i = 155 \text{ mmol L}^{-1}$, $[Na^+]_e = 145 \text{ mmol L}^{-1}$, $[K^+]_e = 4.00 \text{ mmol L}^{-1}$, 计算 37.0°C 下此种细胞的膜电位（注明正负）。

7-1-3 在水溶液中，磷脂双层膜会自发卷曲成球形，该结构被称为脂质体，其结构如 7-1 中之图所示。通过测量脂质体在不同粘度溶液中自由扩散运动的扩散系数(D)，可以计算得到其粒径。自由扩散运动符合布朗运动规律，遵循 Stokes-Einstein 方程，有 $d = k_B T / (3\pi\eta D)$ ，其中 d 为脂质体直径， η 是溶液粘度(单位为 cp, $1 \text{ cp} = 1 \times 10^{-3} \text{ m}^{-1} \text{ kg s}^{-1}$)。 20.0°C 下测得某脂质体在不同粘度溶液中的扩散系数如右表所示，计算其直径(忽略磷脂双层膜厚度)。

7-1-4 称取 725.6 mg 磷脂分子(式量 786.1)，制备成 1.000 mL 脂质体水溶液。取 $10.00 \mu\text{L}$ 该溶液，测得其中含有 1.12×10^{14} 个脂质体颗粒，直径为 100 nm 。假设所有磷脂分子都形成了脂质体，计算脂质体外表面上磷脂分子的排布密度(单位：个 m^{-2})。

7-2 某蛋白质可发生可逆的二聚化反应， $2M(\text{单体}) \rightleftharpoons D(\text{二聚体})$ 。 $pH = 7.5$ 时，测得该二聚化反应在 15°C , 30°C , 40°C 下的平衡常数均为 $K_c = 5.6 \times 10^3$ 。假设二聚反应的焓变与熵变均与温度无关。

7-2-1 计算在 $pH = 7.5$ 和体温 37.0°C 下二聚反应的标准摩尔焓变(单位： kJ mol^{-1})与熵变(单位： $\text{J K}^{-1} \text{ mol}^{-1}$)。

7-2-2 指明反应是焓驱动反应还是熵驱动反应，解释上述二聚反应熵变化的原因。

某脂质体在不同粘度溶液中的扩散速率

$D (\mu\text{m}^2 \text{s}^{-1})$	$\eta (\text{cp})$
0.389	7.18
0.281	9.85
0.188	14.1
0.146	20.8
0.091	33.5

有机部分缩写：

Ac: 乙酰基； Bn: 苯基(苯甲基)； Bu: 丁基； Cy: 环己基； equiv.: 当量； Et: 乙基； Me: 甲基； OTf: 三氟甲磺酰基； Ph: 苯基； R: 烷基； TBS: $t\text{BuMe}_2\text{Si}$ ； THF: 四氢呋喃； TMS: 三甲基硅基； Ts: 对甲苯磺酰基。

第 8 题 有机化合物基本概念和反应 (27 分，占 10%)

对题目 8-1 至 8-5 所提问题进行判断并提供合理解释。对题目 8-6 和 8-7 则按所给条件和要求解答。

8-1 丙酮和六氟丙酮中哪个分子偶极矩更大？

8-2 2,4-戊二酮的烯醇含量在水中还是在正己烷中高？将溶剂水换成二甲亚砜，2,4-戊二酮的 pK_a 是降低还是升高？

8-3 ($2E,4Z,6E$)-辛-2,4,6-三烯在光照下关环后两个甲基是顺式的还是反式的？

8-4 乙酸乙酯、乙酰氯、 N,N -二甲基乙酰胺中哪个化合物 α -氢酸性最强？

8-5 吡啶和六氢吡啶中哪个分子偶极矩更大？

8-6 2-氟-5-三氟甲基吡啶与乙醇钠/乙醇的反应速率要比 2,5-二氟吡啶快得多。为什么？

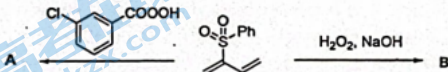
8-7 下表中列出酰胺化反应中常用的一些活化试剂。画出 RCOOH 被以下等量试剂活化后的中间体结构式(接下来与胺反应形成酰胺)。

8-7-1 $\text{PPPh}_3, \text{CBrCl}_3$	8-7-2 $\text{CyN}=\text{C}=\text{NCy}$	8-7-3 $(\text{CH}_3\text{CO})_2\text{O}$
8-7-4 	8-7-5 	8-7-6

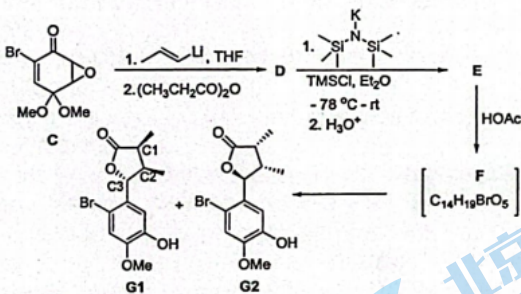
第9题 有机合成的选择性 (29分, 占12%)

有机合成涉及的选择性主要有化学选择性、区域选择性和立体选择性等, 是学习的重点。

9-1 画出以下两个氧化反应主要产物 A 和 B 的结构式:



9-2 烯基环氧化合物(烯基与环氧直接相连)是重要的合成前体。如下由消旋底物 C 为原料制备烯基环氧化合物 E 的路线具有很好的非对映选择性(非对映选择性过量值 > 10:1)。随后, E 可以在乙酸的作用下转化为内酯 G1 和 G2。

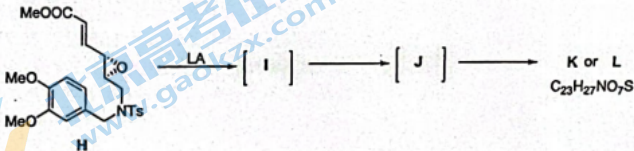


9-2-1 画出产物 D 的立体结构式, 并判断哪些属于主要产物(在你所画的结构式上圈出即可)。

9-2-2 由 D 到 E 的转化过程属于哪类重排反应类型?

9-2-3 画出关键中间体 F 的立体结构式, 并判断产物 G1 中三个手性中心的绝对构型。

9-3 烯基环氧化合物 H 在 Lewis 酸(LA)催化下经中间体 I 和 J 转化为产物; 但不同的 Lewis 酸会形成不同的产物, 如 LA 为 $\text{BF}_3\text{Et}_2\text{O}$ 时主要产物为 K; 而 TMSOTf 催化下则为 L。



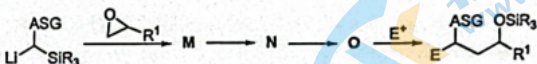
9-3-1 依据以上信息, 画出关键中间体 I 和 J 及产物 K 和 L 的立体结构式 (分离后没有得到六元环并六元环的产物, K含氧杂氮杂五元环, L 含六元环并七元环)。

9-3-2 简述为何在 $\text{BF}_3\text{Et}_2\text{O}$ 催化下的产物为 K。

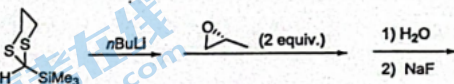
第10题 多组分反应 (27分, 占13%)

利用阴离子传递(ARC)的多组分反应可以高效构筑复杂分子的骨架体系。

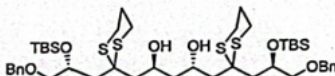
10-1 如下反应步骤是基于ARC的多组分反应(ASG为碳负离子稳定基团,E⁺为亲电试剂),写出此反应关键中间体M、N以及O的结构式。



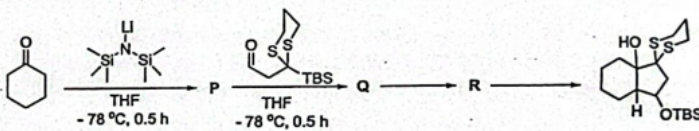
10-2 根据以上信息,画出下列反应主要产物的结构式(要求立体化学)。



10-3 依据以上信息,画出构建如下产物所需三个反应原料的结构式(要求立体化学)。

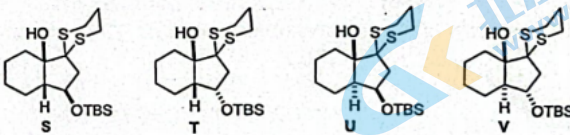


10-4 将ARC策略和羟醛缩合反应相结合,可以一锅法高效构筑双环骨架(如下图所示)。



10-4-1 写出中间体P、Q及R的结构式(要求立体化学)。

10-4-2 判断S-V中的哪一个为此转换的主要产物。



10-5 S和T两者之间的关系为: a) 对映异构体; b) 差向异构体; c) 非对映异构体。

本试题和答案版权归中国化学会所有,未经中国化学会化学竞赛负责人授权,任何人不得翻印,不得在出版物或互联网站上转载、贩卖、赢利,违者必究。本试题和相应答案将分别于2023年9月3日14:00和9月10日14:00在www.chemsoc.org.cn网站上公布。

第37届中国化学奥林匹克(初赛)试题参考答案 (Chemistry 1.0)

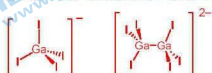
本份参考答案由 *Chemistry* 化学团队制作, 仅供估分使用, 版权属中国化学会所有。
每题实际得分分值应为每题设定分数与占比乘积, 总分 100 分。

第1题 (14分, 占 7%) 镓的化合物

1-1 半导体工业中通过刻蚀制造微纳结构。GaN 是重要的半导体材料, 通常采用含氯气体在放电条件下进行刻蚀。写出利用 Ar-Cl₂ 混合气体放电刻蚀 GaN 的化学方程式。

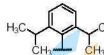
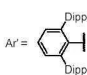


1-2 金属镓熔点很低但沸点很高, 其中存在二聚体 Ga₂。1990 年, 科学家将液态 Ga 和 I₂ 在甲苯中超声处理, 得到了组成为 GaI 的物质。该物质中含有多种不同氧化态的 Ga, 具有两种可能的结构, 分子式分别为 Ga₂I₃(A) 和 Ga₆I₆(B), 二者对应的阴离子分别为 C 和 D, 两种阴离子均由 Ga 和 I 构成且其中所有原子的价层均满足 8 电子。写出示出 A 和 B 组成特点的结构简式并标出 Ga 的氧化态, 画出 C 和 D 的结构。



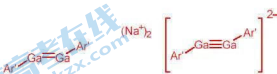
(各 1 分, 未标电荷不得分)

1-3 GaI 常用于合成低价 Ga 的化合物。将 GaI 与 Ar'Li(Ar'基如图所示, 解答中直接采用简写 Ar') 在 -78°C 的甲苯溶液中反应, 得到晶体 E, E 中含有 2 个 Ga 原子; E 在乙醚溶液中与金属钠反应得到晶体 F, X 射线晶体学表明, F 中的 Ga-Ga 键长比 E 中短 0.028 nm, 关于 F 中 Ga-Ga 的键级历史上曾有过争议, 其中一种观点认为, F 中的 Ga 价层满足 8 电子。基于该观点, 画出 E 和 F 的结构式。



Dipp = 2,6-二异丙基苯基

1-3

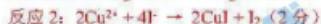


(各 2 分, 未标电荷或未写出阳离子扣 1 分)

第2题(12分,占6%)复盐的组成

在 $\text{NH}_4\text{Cl}\cdot\text{CuCl}_2\cdot\text{H}_2\text{O}$ 体系中,结晶出一种淡蓝色物质A,其组成可表示为 $x\text{NH}_4\text{Cl}\cdot\text{CuCl}_2\cdot y\text{H}_2\text{O}$ 。Cl⁻分析:移取25.00 mL溶液,加入2滴0.5%荧光黄的乙醇溶液和一滴稀NaOH溶液,再加2mL 0.5%淀粉溶液,用0.1036 mol·L⁻¹AgNO₃溶液滴定(反应1)至出现粉红色,消耗19.52 mL; Cu²⁺分析:移取25.00 mL溶液,加入1 mol·L⁻¹H₂SO₄溶液5mL,再加固体KI 1.5 g,混匀并放置(反应2),用0.02864 mol·L⁻¹Na₂S₂O₃溶液滴定(反应3),至棕色较浅时加入2mL 0.5%淀粉溶液,继续滴至蓝色恰好消失,消耗17.65 mL。

2-1 写出反应1~3的方程式。



2-2 通过计算确定A中x和y的值。(NH₄Cl式量53.49, CuCl₂式量134.5)

2-2 滴定比例: Cl⁻~Ag⁺, Cu²⁺~0.5I₂~S₂O₃²⁻

则在1.046 g A中:

$$n(\text{Cl}^-) = n(\text{Ag}^+) = 0.1036 \times 19.52 \times 10^{-3} = 2.022 \times 10^{-2} (\text{mol}) \quad (1 \text{分})$$

$$n(\text{Cu}^{2+}) = n(\text{S}_2\text{O}_3^{2-}) = 0.02864 \times 17.65 \times 10^{-3} = 5.055 \times 10^{-3} (\text{mol}) \quad (1 \text{分})$$

$$\text{则 } n(\text{Cl}^-)/n(\text{Cu}^{2+}) = (2.022 \times 10^{-2})/(5.055 \times 10^{-3}) = 4 \quad (1 \text{分})$$

认为有1个Cu₂₊, 则x=(4-2)/1=2 (1分)

$$\text{则 } M = 1.046 / 5.055 \times 10^{-3} = 206.9 \quad (1 \text{分})$$

$$\text{则 } y = (206.9 - 53.49 \times 2 - 134.5) / 18.016 = 2 \quad (1 \text{分})$$

A为 $2\text{NH}_4\text{Cl}\cdot\text{CuCl}_2\cdot 2\text{H}_2\text{O}$

第3题(13分,占8%)海水中锂的提取

随着锂电池的广泛应用,锂已成为重要的战略资源,被称为白色石油。据估计,海水中锂的总含量为陆地锂总含量的5000倍以上,但海水中锂的质量浓度仅为0.1~0.2 ppm。从海水提取锂首先需要对低浓度的Li⁺进行选择性富集。Li⁺能够嵌入某些氧化物并在一定条件下脱出,据此可以进行Li⁺的富集。

3-1 以Li₂CO₃和MnO₂为原料,充分混合后在720℃下煅烧3 h,冷至室温后即可得到复合氧化物LiMn₂O₄(LMO)。用1 mol·L⁻¹的HCl在60℃处理LMO,将其中所有Li⁺置换后得到HMO,HMO可以和Li⁺反应再生成LMO,然后LMO与酸作用脱出Li⁺从而实现Li⁺富集。如此,可以循环处理。

3-1-1 写出合成LiMn₂O₄的方程式。

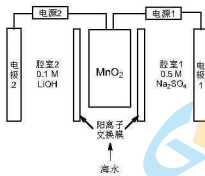


3-1-2 用酸处理LMO时,除离子交换反应之外,也会发生一个副反应,该副反应导致固体中Mn的平均氧化态有所升高,写出副反应对应的化学方程式。这一副反应对再生后的HMO的锂富集性能有何影响?



由于富集有效成分减少,这一副反应会使得再生后的HMO的锂富集性能降低(1分)

3-2 利用电化学富集锂也是有效的方法之一。某电化学系统如图所示,其包含两个电池单元,中间区域置有具有一维孔道结构的 $\lambda\text{-MnO}_2$,该孔道可以容纳合适的阳离子进出。 MnO_2 电极通过阳离子交换膜与两个电化学池中的对电极隔开,腔室1和2中的电解质分别为0.5 M的Na₂SO₄和0.1 M的LiOH。该电化学系统的工作步骤如下:1)向 MnO_2 所在腔室通入海水,启动电源1,使海水中的Li⁺进入 MnO_2 结构而形成 $\text{Li}_x\text{Mn}_2\text{O}_4$;2)关闭电源1和海水通道,启动电源2,同时向电极2上通入空气,使 $\text{Li}_x\text{Mn}_2\text{O}_4$ 中的Li⁺脱出进入腔室2。



电化学锂富集装置示意图

3-2-1 为衡量 MnO_2 对Li⁺的富集效果,将0.50 M的LiCl溶液通入 MnO_2 (4.8 mg)所在腔室,启动电源1,使电流恒定在5.0 mA,累计工作325 s后发现 MnO_2 的电极电势快速下降,计算所得 $\text{Li}_x\text{Mn}_2\text{O}_4$ 中的x。

3-2-1 电极反应式为 $x\text{Li}^+ + 2\text{MnO}_2 + xe^- = \text{Li}_x\text{Mn}_2\text{O}_4$ (1分)

通电过程中转移电子数为: $n(e^-) = I t / F = 1.684 \times 10^{-5} \text{ mol}$ (2分)

参与反应的 MnO_2 的物质的量为: $n(\text{MnO}_2) = m(\text{MnO}_2) / M_r(\text{MnO}_2) = 5.521 \times 10^{-5} \text{ mol}$ (1分)

因此由 $n(e^-) / n(\text{MnO}_2) = x / 2$ 可得, $x = 0.61$ (2分)

3-2-2 写出上述过程中发生腔室2中阴极和阳极上的电极反应。

3-2-2 阴极: $\text{O}_2 + 2\text{H}_2\text{O} + 4e^- = 4\text{OH}^-$ (1分)

阳极: $\text{Li}_x\text{Mn}_2\text{O}_4 - xe^- = x\text{Li}^+ + 2\text{MnO}_2$ (1分)

第4题(14分,占7%) Pt的多核配合物

向 $\text{H}_2\text{Pt}(\text{OH})_6$ 水溶液中加入足量的 $\text{Na}_2\text{S}_2\text{O}_3$ 溶液, 调整 pH 至 11.4, 在高压水热釜中 150°C 反应 17 h, 得到一种深棕色的晶体($\text{A}\cdot n\text{H}_2\text{O}$)。 A 是一种钠盐, 式量为 1359.4, A 的阴离子 B 是一种含三个 Pt 原子的多核络离子, 仅含 Pt、S、O 三种元素, B 中所有 Pt 的化学环境一致, 配位原子均为 S 且 Pt 的配位数与典型的单核 Pt 配合物相同, 存在两种化学环境不同的 S, 不存在 Pt-Pt 键和 S-S 键。

4-1 通过计算和分析确定络离子 B 的组成。

4-1 配体均使用 S 配位, 且不含 S-S 键, 常见的有 S^{2-} 和 SO_3^{2-} (1 分)

设络离子 B 的化学式为 $[\text{Pt}_3\text{S}_x(\text{SO}_3)_y]^{z-}$

若 Pt 价态为 +4, 此时 $z = 2x + 2y - 12$ (1 分)

则 $22.99 \times (2x + 2y - 12) + 3 \times 195.1 + 32.07x + 80.07y = 1359.4$ (1 分)

列表得, 当 $x = 7$ 时, 有 $y = 4$, 此时 B 的化学式为 $[\text{Pt}_3\text{S}_7(\text{SO}_3)_4]^{16-}$ (1 分)

根据题干信息, Pt 应为八面体的 6 配位且化学环境均相同, 此时无合理结构 (1 分)

故考虑 Pt 被还原至价态为 +2, 此时 $z = 2x + 2y - 6$ (1 分)

则 $22.99 \times (2x + 2y - 6) + 3 \times 195.1 + 32.07x + 80.07y = 1359.4$ (1 分)

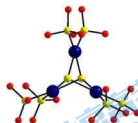
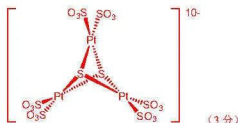
列表得, 当 $x = 2$ 时, 有 $y = 6$, 此时 B 的化学式为 $[\text{Pt}_3\text{S}_2(\text{SO}_3)_6]^{16-}$ (1 分)

根据题干信息, Pt 应为平面四方的 4 配位且化学环境均相同, 有合理结构。

故 B 的组成为 $[\text{Pt}_3\text{S}_2(\text{SO}_3)_6]^{16-}$

4-2 画出 B 的结构式。

4-2



4-3 写出生成配合物 A 的化学方程式。

4-3 $12\text{H}_2\text{Pt}(\text{OH})_6 + 17\text{Na}_2\text{S}_2\text{O}_3 + 10\text{NaOH} = 4\text{Na}_{10}[\text{Pt}_3\text{S}_2(\text{SO}_3)_6] + 2\text{Na}_2\text{SO}_4 + 53\text{H}_2\text{O}$ (3 分)

第5题(32分,占15%) 简单的分子 复杂的反应

同为常见小分子, NO 星光熠熠, H_2S 却臭名昭著。然而, 近期研究发现, 在生命体系中 NO 和 H_2S 窃窃私语。研究二者的相互作用对解开生命起源、理解生理过程的奥秘至关重要。NO 与 H_2S 之间的反应及产物非常复杂, 这里我们一起关注一些重要的基本问题。

5-1 早在 19 世纪, NO 与 H_2S 的反应就受到关注。依赖于反应条件甚至容器(表面可能作为催化剂), 可以得到多种产物。最简单的一种就是产物中出现两种单质(反应 1), 而反应过程出现笑气也是绕不开的步骤(反应 2), 条件适当的时候, 还会产生硫化铵(反应 3)。写出反应 1~3 的方程式。

5-1 反应 1: $2\text{NO} + 2\text{H}_2\text{S} = \text{N}_2 + 2\text{S} + 2\text{H}_2\text{O}$ (2 分)

反应 2: $2\text{NO} + \text{H}_2\text{S} = \text{N}_2\text{O} + \text{S} + \text{H}_2\text{O}$ (2 分)

反应 3: $2\text{NO} + 6\text{H}_2\text{S} = (\text{NH}_4)_2\text{S} + 5\text{S} + 2\text{H}_2\text{O}$ (2 分)

5-2 研究发现, HNO、HSNO、HSSNO、HS₂⁻等均是生理过程的关键物种, 可由 NO 与 H₂S 作用产生。

5-2-1 HSNO(A)表达式给出的原子次序就是其连接方式。画出 A 及其共轭碱(B)的 Lewis 结构式(要求最稳定的形式)。

5-2-1



(各 2 分)

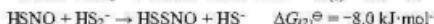
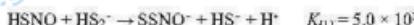
5-2-2 尽管 A 是最稳定的形式, 但是通过低温下光解反应, 也可以得到其他键合方式不同的异构体。画出 A 所有其他合理异构体的骨架结构。

5-2-2



(各 1 分)

5-2-3 捍信 SSNO⁻参与多个生理过程。其中涉及 SSNO⁻形成及变化的可能反应及热力学常数如下:



计算 298 K 下 HSSNO 的酸解离常数 K_{a1} 。

$$5-2-3 K_{a1} = \exp(-\Delta G_{12}^\ominus / RT) = \exp(8 \times 10^3 / 8.3145 \times 298) = 25.2 \quad (2 \text{ 分})$$

$$\text{反应 } \text{HSSNO} \rightarrow \text{SSNO}^- + \text{H}^+ \quad K_a = K_{a1}/K_{12} = 5.0 \times 10^2 / 25.2 = 19.8 \quad (2 \text{ 分})$$

5-3 为理解金属离子在相关过程的作用, 开展了如下研究: 空气中, 在络离子 A([Ru(EDTA)(OH)]²⁺, EDTA 为乙二胺四乙酸根)的溶液中, 加入 NaHS 并充分搅拌, 溶液变为蓝绿色, 对应于双核络离子 B 的生成(反应 4)。分别取 A 和 B 的溶液, 在惰性气体保护下, 加入被 NO 饱和的磷酸盐缓冲液(pH=8.2), 充分反应, A 转化为 C, B 转化为 D(反应 5)。借助于质谱分析, 计算出四个络离子的式量分别为 A: 406.3, B: 842.7, C: 419.3, D: 451.4。磁性测量发现, C 为抗磁性, D 为顺磁性。

5-3-1 写出络离子 B、C、D 的结构简式。



5-3-2 写出反应 4 和 5 的离子方程式。



5-3-3 画出 C 和 D 中金属离子 d 轨道在八面体场(近似看作正八面体)中的分裂图并给出 d 电子排布。

5-3-3



(各 2 分, 轨道图 1 分, 填电子 1 分)

第6题(26分,占13%)层状金属碳化物和MXene材料

MAX相是一大类具有层状结构的金属碳化物或氮化物的总称,其中M为Ti、V、Nb等前过渡金属,X为碳或氮,A为Al、Sn、Ge、Sb等p区元素。MAX的结构中,M原子形成理想的密置层,M层之间采取密堆积(可连续分布)与简单六方堆积(通常以单层呈现)按一定方式有序堆叠形成三维结构。结构中,X填充在M层密堆积形成的所有八面体空隙中,A则有序占据M层简单六方堆积所形成空隙的一半。将其中的A元素选择性除去,可以分离得到二维的层状结构,称为MXene。MXene层中,最外层M可进一步与卤素、羟基等-1价端基T按1:1结合,形成端基T功能化的MXene(T-MXene)。因此,MXene的组成和结构多样且可调控,是当前二维材料的研究热点。

6-1 若MAX相中,M和A的原子数比为n,写出MAX相(O)、二维MXene层(P)和T-MXene(Q)的组成通式。Q中T为-1价端基。

6-1 O: M_nAX_{n-1} ; P: M_nX_{n-1} ; Q: $M_nX_{n-1}T_2$ (各2分)

6-2 某碳化物MAX相 $Ti_3Al_xC_z$ 结构属六方晶系, Ti 层的排列方式为 $\cdots ABCCBAABCCBA\cdots$ 。

6-2-1 写出 $Ti_3Al_xC_z$ 晶胞的组成。

6-2-1 2个 $Ti_3Al_xC_z$ (2分)

6-2-2 已知 $Ti_3Al_xC_z$ 晶胞参数 $a=0.306\text{ nm}$, $c=1.856\text{ nm}$ 。将M层密堆积形成的八面体近似为正八面体,计算简单六方排布相邻层的间距d(单位:nm)。

6-2-2 一个八面体的高度 $h=2a/\sqrt{6}=0.2498\text{ nm}$ (2分)

从而得到: $d=(c-4h)+2=0.4283\text{ nm}$ (2分)

6-2-3 $Ti_3Al_xC_z$ 结构中,碳原子处在 Ti 层密堆积形成的八面体中心。若将晶胞原点选在处于堆积中B层的 Ti 上,此时所有的Al恰好均处在c轴上。写出晶胞中所有碳原子的坐标参数。

6-2-3 (1/3,2/3,0.2979),(0,0,0.4327),(1/3,2/3,0.9326),(0,0,0.7981)(各1分)
写(2/3,1/3,0.2979),(0,0,0.4327),(2/3,1/3,0.9326),(0,0,0.7981)亦可

6-2-4 将 $Ti_3Al_xC_z$ 在HF溶液中超声处理,可选择性去除其中的Al层,得到二维结构的MXene片层 Ti_2C_x (反应1), Ti_2C_x 进一步与F反应,形成F-MXene(反应2)。写出反应1和2的化学方程式。

6-2-4 反应1: $2Ti_3Al_xC_z + 6HF = 2Ti_3C_2 + 2AlF_3 + 3H_2$ (2分)

反应2: $Ti_3C_2 + 2HF = Ti_2C_2 + H_2$ (2分)

6-2-5 T-MXene的性质与端基T密切相关。利用熔融 $ZnCl_2$ 与 $Ti_3Al_xC_z$ 在 $550^\circ C$ 反应5 h,可以得到Cl为端基的Cl-MXene(反应3)。将Cl-MXene在 $CsCl-KCl-LiCl$ 混合熔盐与 Li_2Se 反应18 h,可以得到端基为Se的Se-MXene(反应4)。写出反应3和4的化学方程式。

6-2-5 反应3: $5ZnCl_2 + 2Ti_3Al_xC_z = 2Ti_3C_2Cl_2 + 2AlCl_3 + 5Zn$ (2分)

反应4: $Ti_3C_2Cl_2 + Li_2Se = Ti_3C_2Se + 2LiCl$ (2分)

6-2-6 对于6-2-4中用HF水溶液处理得到的F-MXene,能否发生与6-2-5中反应4类似的反应?简述原因。

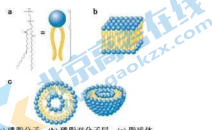
6-2-6 不能(1分)

F与Ti之间的结合能力大于Se与Ti的结合能力,因此无法用Se置换下F(1分)

第7题(20分,占10%)生命过程中的物质

生命体中,各种物质的结构和功能都与基础化学密切相关。磷脂和蛋白质就是其中的重要代表。

7-1 磷脂双分子层是由两亲性的磷脂分子以“尾部朝里,头朝外”的方式组成的双层膜结构,它起到对细胞进行包裹保护以及对物质进行选择性传递的作用。构成该双层膜结构的磷脂分子和磷脂双层膜结构的示意图以及其相关的脂质体如下图所示。



(a) 磷脂分子, (b) 磷脂双分子层, (c) 脂质体

7-1-1 依据磷脂双层膜结构的特征,解释为什么水溶液中的离子无法自由通过磷脂双层膜。

7-1-1 磷脂双分子中间层为脂质层,由低极性的烷基组成,对高极性的离子具有很强的排斥力,因此离子无法自由通过(2分)

7-1-2 细胞膜是由磷脂双层膜组成,由于细胞内外离子浓度分布的不均匀性,造成了膜两边形成了一定的电势差,被称为膜电位。由离子 A^{n+} 浓差形成的膜电位(定义细胞外的电势为零)可以通过如下方程计算:

$$\varphi_{A^{n+}} = \frac{RT}{nF} \ln \frac{[A^{n+}]_{\text{外}}}{[A^{n+}]_{\text{内}}}$$

神经元细胞内和细胞外的钠离子和钾离子浓度分别为 $[Na^+]_{\text{内}} = 12.0 \text{ mmol}\cdot L^{-1}$, $[K^+]_{\text{内}} = 155 \text{ mmol}\cdot L^{-1}$, $[Na^+]_{\text{外}} = 145 \text{ mmol}\cdot L^{-1}$, $[K^+]_{\text{外}} = 4.00 \text{ mmol}\cdot L^{-1}$, 计算 37.0°C 下此种细胞的膜电位(标明正负)。

7-1-2

$$\varphi_{Na^+} = \frac{RT}{nF} \ln \frac{[Na^+]_{\text{外}}}{[Na^+]_{\text{内}}} = \frac{8.3145 \text{ J}\cdot\text{mol}^{-1}\cdot\text{K}^{-1} \times (273.15 + 37.0) \text{ K}}{1 \times 96485 \text{ C}\cdot\text{mol}^{-1}} \ln \frac{145 \text{ mmol}\cdot L^{-1}}{12.0 \text{ mmol}\cdot L^{-1}} = 0.0666 \text{ V}$$

(2分)

$$\varphi_{K^+} = \frac{RT}{nF} \ln \frac{[K^+]_{\text{外}}}{[K^+]_{\text{内}}} = \frac{8.3145 \text{ J}\cdot\text{mol}^{-1}\cdot\text{K}^{-1} \times (273.15 + 37.0) \text{ K}}{1 \times 96485 \text{ C}\cdot\text{mol}^{-1}} \ln \frac{4.00 \text{ mmol}\cdot L^{-1}}{155 \text{ mmol}\cdot L^{-1}} = -0.0977 \text{ V}$$

(2分)

膜电位由两种离子共同决定,故 $\varphi = \varphi_{Na^+} + \varphi_{K^+} = 0.0666 \text{ V} + (-0.0977 \text{ V}) = -0.0311 \text{ V}$ (1分)

7-1-3 在水溶液中,磷脂双层膜会自发卷曲成球形,该结构被称为脂质体,其结构如**7-1**中之图所示。通过测量脂质体在不同粘度溶液中自由扩散运动的扩散系数(D),可以计算得到其粒径。自由扩散运动符合布朗运动规律,遵循 *Stokes-Einstein* 方程,有 $d = k_B T / (3\pi\eta D)$, 其中 d 为脂质体直径, η 是溶液粘度(单位为 cp, 1 cp = $1 \times 10^3 \text{ m}^{-1}\cdot\text{kg}\cdot\text{s}^{-1}$)。20.0°C下测的某脂质体在不同粘度溶液中的扩散系数如右表所示,计算其直径(忽略磷脂双层膜厚度)。

某脂质体在不同粘度溶液中的扩散速率

$D (\mu\text{m}^2\cdot\text{s}^{-1})$	$\eta (\text{cp})$
0.389	7.18
0.281	9.85
0.188	14.1
0.146	20.8
0.091	33.5

7-1-3 将 Stokes-Einstein 方程变形可得 $D = k_B T / (3\pi d) \times \eta^{-1}$, 也即 D 和 η^{-1} 呈线性相关。

$D(\text{m}^2\cdot\text{s}^{-1})$	3.89×10^{-13}	2.81×10^{-13}	1.88×10^{-13}	1.46×10^{-13}	9.1×10^{-24}
$\eta^{-1}(\text{m}\cdot\text{s}\cdot\text{kg}^{-1})$	139	102	70.9	48.1	29.9

对数据进行线性回归, 可得 $D = [2.70 \times 10^{-15} \eta / (\text{m}\cdot\text{kg}^{-1}\cdot\text{s}) + 8.61 \times 10^{-15}] \text{ m}^2\cdot\text{s}^{-1}$, $r = 0.9979$,

也即 $k_B T / (3\pi d) = 2.70 \times 10^{-15} \text{ J}\cdot\text{m}^{-1}$ (2 分)

$$d = 1.3807 \times 10^{-25} \text{ J}\cdot\text{K}^{-1} \times (273.15 + 20.0) \text{ K} / (3\pi \times 2.70 \times 10^{-15} \text{ J}\cdot\text{m}^{-1}) = 1.59 \times 10^{-8} \text{ m} = 159 \text{ nm}$$
 (2 分)

7-1-4 称取 725.6 mg 磷脂分子(式量 786.1), 制备成 1.000 mL 脂质体水溶液。取 10.00 μL 该溶液, 测得其中含有 1.12×10^{14} 个脂质体颗粒, 直径为 100 nm。假设所有磷脂分子都形成了脂质体, 计算脂质体外表面磷脂分子的排布密度(单位: 个· m^2)。

7-1-4 脂质水溶液中的磷脂浓度

$$c = 725.6 \text{ mg} / (786.1 \text{ g}\cdot\text{mol}^{-1} \times 1.000 \text{ mL}) = 0.9230 \text{ mol}\cdot\text{L}^{-1}$$
 (1 分)

故每个脂质体颗粒含有的磷脂分子数

$$N = 0.9230 \text{ mol}\cdot\text{L}^{-1} \times 10.00 \mu\text{L} \times 6.0221 \times 10^{23} \text{ mol}^{-1} / 1.12 \times 10^{14} = 4.963 \times 10^6 \text{ 个}$$
 (1 分)

$$\text{脂质体颗粒表面积 } A = \pi \times (100 \text{ nm})^2 = 3.14 \times 10^{-14} \text{ m}^2$$
 (1 分)

由于脂质体颗粒的半径远大于磷脂分子的长度, 可认为磷脂两分子层的半径相同
则脂质体外表面磷脂分子的排布密度为

$$4.963 \times 10^6 / (2 \times 3.14 \times 10^{-14}) = 1.580 \times 10^{12} \text{ 个}\cdot\text{m}^{-2}$$
 (1 分)

7-2-1 某蛋白质可发生可逆的二聚化反应, $2M(\text{单体}) \rightleftharpoons D(\text{二聚体})$, $\text{pH} = 7.5$ 时, 测得该二聚化反应在 15°C, 30°C, 40°C 下的平衡常数均为 $K_c^\ominus = 5.6 \times 10^3$ 。假设二聚反应的焓变与熵变均与温度无关。

7-2-1 计算在 $\text{pH} = 7.5$ 和体温 37.0°C 下二聚反应的标准摩尔焓变(单位: $\text{kJ}\cdot\text{mol}^{-1}$)与熵变(单位: $\text{J}\cdot\text{K}^{-1}\cdot\text{mol}^{-1}$)。

7-2-1 由于假设二聚反应的焓变与熵变均与温度无关, 有:

$$\ln(K_{c1}^\ominus / K_{c2}^\ominus) = \Delta H_m^\ominus / R \times (T_2^\ominus - T_1^\ominus), \text{ 任意代入两组温度, 可得 } \Delta H_m^\ominus = 0$$
 (1 分)

而又又有 $\Delta G_m^\ominus = -RT \ln K_c^\ominus = \Delta H_m^\ominus - T\Delta S_m^\ominus$

$$\text{则 } \Delta S_m^\ominus = R \ln K_c^\ominus = 8.3145 \text{ J}\cdot\text{mol}^{-1}\cdot\text{K}^{-1} \times \ln (5.6 \times 10^3) = 72 \text{ J}\cdot\text{mol}^{-1}\cdot\text{K}^{-1}$$
 (2 分)

由 Gibbs-Helmholtz 方程 $d(\Delta G_m^\ominus / T) / dT = -\Delta H_m^\ominus / RT^2$ 以及 $\Delta G_m^\ominus = -RT \ln K_c^\ominus$,
有 $d \ln K_c^\ominus / dT = -\Delta H_m^\ominus / RT^2 = 0$, 故 $\Delta H_m^\ominus = 0$ 。

7-2-2 指明反应是焓驱动反应还是熵驱动反应, 解释上述二聚反应熵变化的原因。

7-2-2 反应是熵驱动 (1 分)

蛋白质二聚时, 会释放出与其结合的水分子, 从而导致熵增 (1 分)

有机部分缩写:

Ac: 乙酰基; Bn: 苄基(苯甲基); Bu: 丁基; Cy: 环己基; equiv.: 当量; Et: 乙基; Me: 甲基; OTf: 三氟甲磺酰基; Ph: 苯基; K: 烷基; TBS: $^3\text{Bu}_3\text{Si}-$; THF: 四氢呋喃; TMS: 三甲基硅基; TS: 对甲苯磺酰基。

第8题 有机化合物基本概念和反应 (27分, 占10%)

对题目8-1至8-5所提问题进行判断并提供合理解释。对题目8-6和8-7则按所给条件和要求解答。

8-1 丙酮和六氟丙酮中哪个分子偶极矩更大?

8-1 丙酮偶极矩更大 (1分)

由于六氟丙酮中的两个三氟甲基为诱导吸电子基, 其所产生的偶极矩与羰基偶极矩方向相反; 而丙酮中两个甲基能够通过共轭给电子, 其所产生的偶极矩与羰基偶极矩方向相同, 故丙酮的分子偶极矩更大 (2分)

8-2 2,4-戊二酮的烯醇含量在水中还是在正己烷中高? 将溶剂水换成二甲亚砜, 2,4-戊二酮的 pK_a 是降低还是升高?

8-2 在正己烷中高 (1分), 正己烷为非极性溶剂, 不会破坏烯醇式里的分子内氢键, 因此2,4-戊二酮在正己烷中烯醇含量更高 (1分)

pK_a 升高 (1分) 由于水为极性质子溶剂而二甲亚砜为极性非质子溶剂, 无法稳定阴离子, 因此将溶剂水换成二甲亚砜后, 2,4-戊二酮能量略升高, 而2,4-戊二酮阴离子能量大幅升高, 故 pK_a 升高 (1分)

8-3 (2E,4Z,6E)-辛-2,4,6-三烯在光照下关环后两个甲基是顺式的还是反式的?

8-3 反式 (1分)

由于(2E,4Z,6E)-辛-2,4,6-三烯具有六个 π 电子, 在光照条件下其HOMO轨道两端波相相反, 故发生顺旋关环, 两个甲基处于反式 (2分)

8-4 乙酸乙酯、乙酰氯、N,N-二甲基乙酰胺中哪个化合物 α -氢酸性最强?

8-4 乙酰氯 (1分)

由于共轭给电子能力Cl < O < N, 因此三个化合物中羧基缺电子程度为乙酰氯 > 乙酸乙酯 > N,N-二甲基乙酰胺, 故乙酰氯的 α -氢酸性最强 (2分)

8-5 吡啶和六氢吡啶中哪个分子偶极矩更大?

8-5 吡啶偶极矩更大 (1分)

六氢吡啶中N-H键产生的偶极矩抵消了一部分N-C键产生的偶极矩, 且吡啶中N原子具有共轭吸电子效应, 因此吡啶偶极矩更大 (2分)

8-6 2-氯-5-三氟甲基吡啶与乙醇钠/乙醇的反应速率要比2,5-二氯吡啶快得多。为什么?

8-6 三氟甲基具有强诱导吸电子效应, 氟原子除具有诱导吸电子效应外还具有共轭给电子效应, 因此2-氯-5-三氟甲基吡啶更加缺电子, 更易发生芳香亲核取代反应 (2分)

8-7 下表中列出酰胺化反应中常用的一些活化试剂。画出RCOOH被以下等量试剂活化后的中间体结构式(接下来与胺反应形成酰胺)。

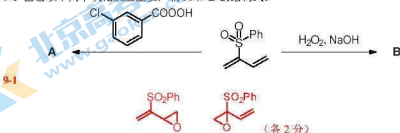
8-7-1 PPh ₃ , CB ₁₂ Cl ₃	8-7-2 CyN=C=NCy	8-7-3 (CH ₃ CO) ₂ O
8-7-4 	8-7-5 	8-7-6

8-7-1	8-7-2	8-7-3
8-7-4	8-7-5	8-7-6

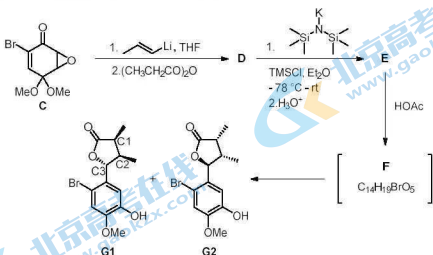
第9题（29分，占12%）有机合成的选择性

有机合成涉及的选择性主要有化学选择性、区域选择性和立体选择性等，是学习的重点。

9-1 画出以下两个氧化反应主要产物 **A** 和 **B** 的结构式：

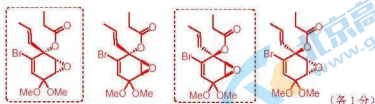


9-2 烯基环氧化合物(烯基和环氧直接相连)是重要的合成前体，如下由消旋底物 **C** 为原料制备烯基环氧化合物 **E** 的路线具有很好的非对映选择性(非对映选择性过量值 > 10 : 1)。随后，**E** 可以在乙酸的作用下转化为内酯 **G1** 和 **G2**。



9-2-1 画出产物 D 的立体结构式，并判断哪些属于主要产物(在你所画的结构式上圈出即可)。

9-2-1



框起来的 2 个结构简式为主要产物 (各 1 分)

9-2-2 由 D 到 E 的转化过程属于哪类重排反应类型?

9-2-2 [3,3]- σ 重排反应 (2 分)

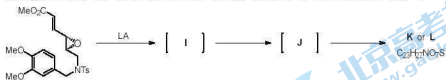
9-2-3 画出关键中间体 F 的立体结构式，并判断产物 G1 中三个手性中心的绝对构型。

9-2-3



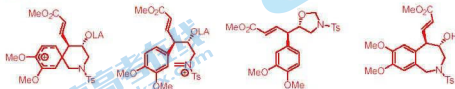
S、R、R (各 1 分)

9-3 烯基环氧化合物 H 在 Lewis 酸(LA)催化下经中间体 I 和 J 转化为产物：但不同的 Lewis 酸会形成不同的产物，如 LA 为 $\text{BF}_3\cdot\text{Et}_2\text{O}$ 时主要产物为 K；而 TMSOTf 催化下则为 L。



9-3-1 依据以上信息，画出关键中间体 I 和 J 及产物 K 和 L 的立体结构式(分离后没有得到六元环并六元环的产物，K 含氧杂氮杂五元环，L 含六元环并七元环)。

9-3-1



(各 2 分)

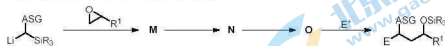
9-3-2 简述为何在 $\text{BF}_3\cdot\text{Et}_2\text{O}$ 催化下的产物为 K。

9-3-2 相比 TMSOTf, $\text{BF}_3\cdot\text{Et}_2\text{O}$ 与氧的结合能力更弱，使得氧可以捕获碳正离子，形成五元杂环产物 (2 分)

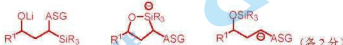
第10题(27分,占13%)多组分反应

利用阴离子传递(ARC)的多组分反应可以高效构筑复杂分子的骨架体系。

10-1 如下反应步骤是基于 ARC 的多组分反应(ASG 为碳负离子稳定基团, E⁺为亲电试剂),写出此反应关键中间体 M、N 及 O 的结构式。



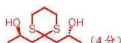
10-1



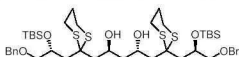
10-2 根据以上信息,画出下列反应主要产物的结构式(要求立体化学)。



10-2



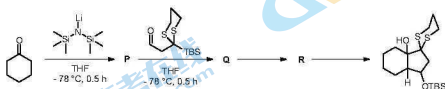
10-3 依据以上信息,画出构建如下产物所需三个反应原料的结构式(要求立体化学)。



10-3

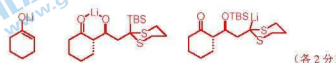


10-4 将 ARC 策略和羟醛缩合反应相结合,可以一锅法高效构筑双环骨架(如下图所示)。



10-4-1 写出中间体 P、Q 及 R 的结构式(要求立体化学)。

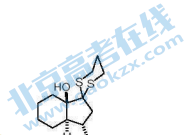
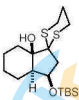
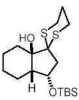
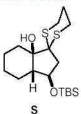
10-4-1



(各 2 分)

10-4-2 判断 S~V 中的哪一个为此转换的主要产物。

10-4-2 T (3 分)



10-5 S 和 T 两者之间的关系为： a) 对映异构体 b) 差向异构体 c) 非对映异构体。

10-5 b) c) (2 分, 漏选扣 1 分, 错选不得分)

关于我们

北京高考在线创办于 2014 年，隶属于北京太星网络科技有限公司，是北京地区极具影响力中学升学服务平台。主营业务涵盖：北京新高考、高中生涯规划、志愿填报、强基计划、综合评价招生和学科竞赛等。

北京高考在线旗下拥有网站门户、微信公众平台等全媒体矩阵生态平台。平台活跃用户 40W+，网站年度流量数千万量级。用户群体立足于北京，辐射全国 31 省市。

北京高考在线平台一直秉承 “ 精益求精、专业严谨 ” 的建设理念，不断探索 “K12 教育 + 互联网 + 大数据 ” 的运营模式，尝试基于大数据理论为广大中学和家长提供新鲜的高考资讯、专业的高考政策解读、科学的升学规划等，为广大高校、中学和教科研单位提供 “ 衔接和桥梁纽带 ” 作用。

平台自创办以来，为众多重点大学发现和推荐优秀生源，和北京近百所中学达成合作关系，累计举办线上线下升学公益讲座数百场，帮助数十万考生顺利通过考入理想大学，在家长、考生、中学和社会各界具有广泛的口碑影响力。

未来，北京高考在线平台将立足于北京新高考改革，基于对北京高考政策研究及北京高校资源优势，更好的服务全国高中家长和学生。



微信搜一搜

Q 北京高考资讯